

การออกแบบจลน์สแลเบริ่งแบบสั้นมากที่สภาวะที่เหมาะสมที่สุด โดยใช้สารหล่อลื่น/non-newtonian lubricants
(Optimum Design of infinitely short Journal Bearings with Non-newtonian Lubricants)

จำลอง ปรับแก้
 Chamlong Prabkeao

ดร.มงคล มงคลวงศ์โรจน์
 Dr.Mongkol Mongkolwongrojn

บทคัดย่อ

รายงานฉบับนี้ได้ศึกษาพัฒนาระบบทดลองของแบบริงเพลาคลุณเมื่อใช้สารหล่อลื่นชนิด Non-Newtonian Fluid สำหรับสารเติมแต่งน้ำมันหล่อลื่นเป็น High molecular weigh polymer มีโมเดลคณิตศาสตร์อยู่ในดีกรีที่ 3 โดยการเขียนสมการ Modified Reynold และใช้วิธี Perturbation Technique ในการแก้ปัญหาแล้วจึงใช้วิธี Analytical method งานวิจัยนี้ยังได้พัฒนาโปรแกรมคอมพิวเตอร์เพื่อหาค่า Clearance (c) และอัตราส่วนความยาวต่อเส้นผ่านศูนย์กลาง (λ) ที่เหมาะสมที่สุดตาม Objective function ที่กำหนดไว้ กล่าวคือให้อุณหภูมิที่เพิ่มขึ้น และ อัตราการไหลของสารหล่อลื่นนี้ค่าต่ำที่สุด วิธีการ Optimization ในที่นี้ได้ใช้วิธี Exhaustive Search จนกระทั่งได้ขนาดของแบบริงที่เหมาะสมที่สุด

Abstract

This report deal with the investigation of performance characteristic of circular journal bearings with Non-Newtonian Lubricants. The mathematical model of the Non-Newtonian fluid can be expressed as third degree polynomial for high molecular weight Polymer additive in order to improve viscosity index. The modified Reynold equation is derived by using perturbation technique. Analytical method are used to obtain the numerical calculation in this problem.

In this study Exhaustive search technique is implemented to determine the optimum Clearance (c) and length to diameter ratio (λ) of the journal bearings. The objective function is stated as minimize lubricant temperature rise and flow rate. The optimum clearance for $L/D = 0.25$ is 0.13 mm.

* อาจารย์ประจำภาควิชา工กรรมเครื่องกล คณะวิศวกรรมศาสตร์ สจล.

** รองศาสตราจารย์ประจำภาควิชา工กรรมเครื่องกล คณะวิศวกรรมศาสตร์ สจล.

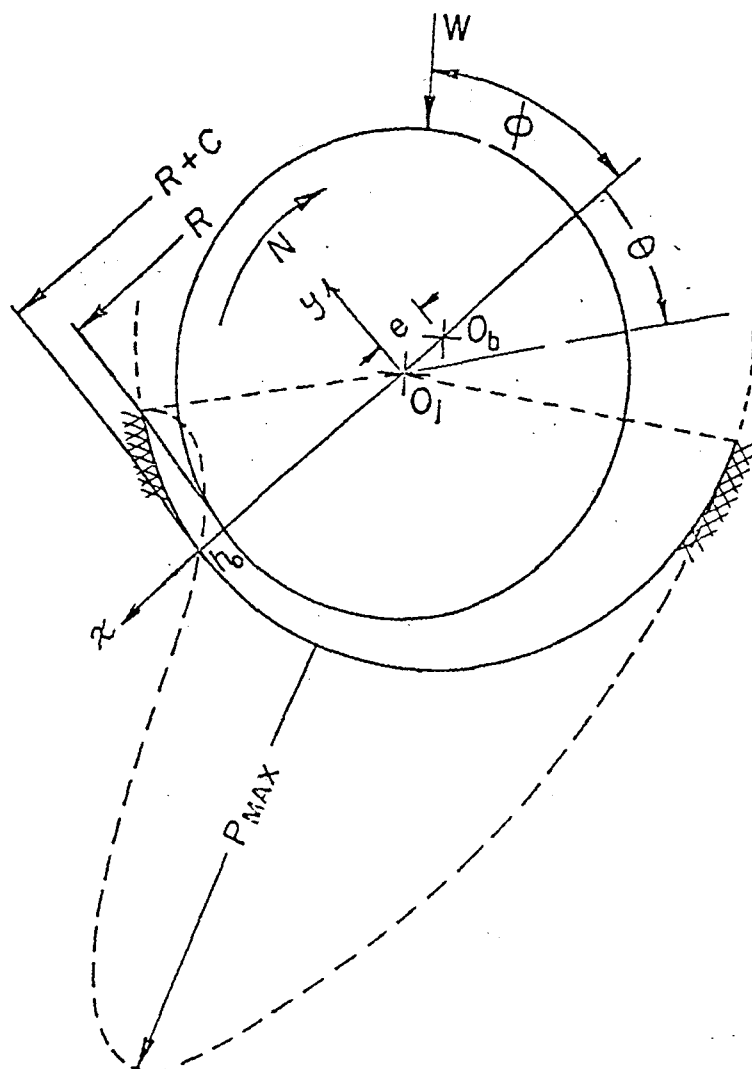
1. บทนำ (Introduction)

เครื่องจักรสมัยใหม่จะทำงานที่สภาวะความเร็วต่ำ ด้วยความต้องการที่ต้องมีความแม่นยำและมีประสิทธิภาพสูง ดังนั้นเครื่องจักรที่จะสูงตามไปด้วย ทฤษฎีการหล่อลื่นจะสมนุติว่าสารหล่อลื่นเป็นแบบนิวตันien ซึ่งเมื่อได้รับ อุณหภูมิสูงขึ้นจะทำให้ค่าความหนืดลดลง ถ้าระยะห่างระหว่างเพลา กับ แบร์ริง (Clearance) ไม่ เหมาะสม จะทำให้แบร์ริงรับภาระได้น้อยลง และอาจเกิดความไม่เสถียรของระบบเพลาได้ การ หล่อลื่นที่ดีจะต้องมีการกำหนดค่า Clearance (c) และอัตราส่วนความยาวต่อเส้นผ่านศูนย์กลาง ของแบร์ริง (λ) ที่เหมาะสมที่สุด โดยให้อุณหภูมิที่เพิ่มขึ้น และอัตราการไหลของสารหล่อลื่นมีค่า น้อยที่สุด สารหล่อลื่นอน - นิวตันien (Non - Newtonian) เป็นอีกทางเลือกหนึ่งที่จะนำมาใช้ ในที่สุด เพื่อให้เครื่องจักรมีสมรรถนะในการทำงานสูงสุด สารหล่อลื่น อน - นิวตันien ได้ จากการเติมสารเติมแต่งชนิด High molecular weight ลงในสารหล่อลื่น ซึ่งจะทำให้ค่าความหนืด คงที่ไม่เปลี่ยนแปลง ได้มีบทความการศึกษาเกี่ยวกับพฤติกรรมของสารหล่อลื่น อน-นิวตันien ในแง่มุมต่าง ๆ เช่นบทความเรื่อง “Dynamic Behaviour of short Elliptical Journal Bearings with Non-newtonian Lubricants”^[1] และ “Numerical Solution of a Non-newtonian fluid film flow”^[2] เป็นต้น

2. ทฤษฎี (Theory)

2.1 ลักษณะทางเรขาคณิตของเจอนัลแบร์ริง (Journal bearing Geometry)

เจอนัลแบร์ริง (Journal bearing) คือ แบร์ริงชนิดที่เป็นปลอกหุ้มเพลาไว้ โดยมีฟิล์มน้ำมันยกเพลาให้ลอดอยู่ขึ้นจากผิวด้านในของแบร์ริง เพื่อป้องกันการเสียดสีระหว่างเพลา กับ แบร์ริง ขณะที่เพลาหมุนแบร์ริง จะเป็นตัวรับภาระในแนวราบ (Radial Load) รูปที่ 1 แสดงรูปร่างลักษณะ ของเจอนัลแบร์ริง เมื่อเพลาเริ่มหมุนในตอนแรกจะเกิดการเสียดสีของโลหะระหว่างเพลา กับ แบร์ริง ตรงจุดที่รับภาระ หลังจากเพลาหมุนไปเล็กน้อย น้ำมันก็จะไหลและยกเพลาให้ลอดจากแบร์ริง เป็นระยะความหนาของฟิล์มน้ำมัน เมื่อเพลาหมุนเร็วขึ้นจนกระทั่งเข้าสู่ตำแหน่งคงที่ ฟิล์มน้ำมัน จะถูกกรีดจนบางที่สุด เรียกว่า ความหนาของฟิล์มน้ำมันน้อยสุด



รูปที่ 1 แสดงลักษณะทางเรขาคณิตของจอนล์เบริ่ง

2.2 สมการโนดิฟายเรโนล์ (Modified Reynold equation)

สมการพื้นฐานที่แสดงพฤติกรรมของสารหล่อลื่น คือสมการเรโนล์ (Reynolds equation) ในรายงานฉบับนี้ศึกษาถึงพฤติกรรมของจอนล์เบริ่งแบบสั้นมาก (Ininitely Short Journal Bearing) หมายถึง เบริ่งที่มีความยาวน้อยมากเมื่อเทียบกับขนาดวัสดุผ่านศูนย์กลาง สมการ โนดิฟายด์เรโนล์ (Modified Reynold equation)^[1] สำหรับการให้ผลแบบรวมเรียนภาษาให้สภาวะไม่คงตัว จัดอยู่ในรูปสมการดิฟเพอเรนเชียล คือ

$$\frac{1}{4} \left(\frac{D}{L} \right)^2 \frac{\partial}{\partial z} \left\{ h^3 \frac{\partial P}{\partial z} + \frac{1}{4} \left(\frac{D}{L} \right)^2 \frac{\partial}{\partial z} \frac{h^5}{80} \left(\frac{\partial P}{\partial z} \right)^3 \right\} = - \frac{1}{2} \frac{\partial h}{\partial \theta} + \frac{\partial h}{\partial t} \quad ----- (1)$$

ในการพิสูจน์ให้สารหล่อลีน นอน-นิวโทเนียน คุณสมบัติของสารหล่อลีนเป็นแบบ Non-linear $0 \leq \delta \leq 1$ ความดันของฟิล์มสารหล่อลีน เป็นดังสมการ

$$P = P_0 + \delta P_1 + \delta^2 P_2 + \dots \quad (2)$$

สำหรับแบบร่องแบบวงกลม โดยที่ สมการความหนาของฟิล์มน้ำมัน คือ

$$h = 1 + \varepsilon \cos \theta \quad (3)$$

เมื่อ P = ความดันของฟิล์มน้ำมัน

P_0, P_1, P_2, \dots = ความดันย่อย

h = ความหนาของฟิล์มน้ำมันที่ดำเนินไป

D = ขนาดวัดผ่านศูนย์กลางของแบบร่อง

L = ความยาวของแบบร่อง

ε = อัตราเข็งศูนย์ของเพลา กับแบบร่อง = e/c

θ = พิกัดรอบรูปวงกลม

เมื่อแทนค่า P จากสมการ (2) ลงในสมการ (1) จะได้สมการความดันในแต่ละส่วน ดังนี้

สมการความดันอันดับศูนย์ ภายใต้สภาวะคงตัว

$$P_0 = \frac{A}{2} z^2 + Bz + C \quad (4)$$

เมื่อ $A = -24 \left(\frac{L}{D}\right)^2 \frac{\varepsilon \sin \theta}{(1 + \varepsilon \cos \theta)^3}$

B และ C เป็นค่าคงที่

สมการความดันอันดับหนึ่ง ภายใต้สภาวะคงตัว

$$P_1 = \left[\frac{1555.2}{h^7} \left(\frac{L}{D}\right)^4 (\varepsilon \sin \theta)^3 \right]_{12} z^4 - \left[\frac{129.6B}{h^4} \left(\frac{L}{D}\right)^2 (\varepsilon \sin \theta)^2 \right]_6 z^3 + \left[\frac{2.7B}{h} (\varepsilon \sin \theta) \right]_2 z^2 + Ez + F \quad (5)$$

เมื่อ E และ F เป็นค่าคงที่

นำสมการ (4) และ (5) แทนลงไว้ในสมการที่ (2) โดยตัดผลของสมการตั้งแต่ อันดับสองทิ้งไว้ และอยู่ภายใต้เงื่อนไขขอนเบตดังนี้

$$1. P = 0, \theta = 0$$

$$2. \frac{dP}{d\theta} = 0, \theta = 0$$

$$3. P = 0, z = 0$$

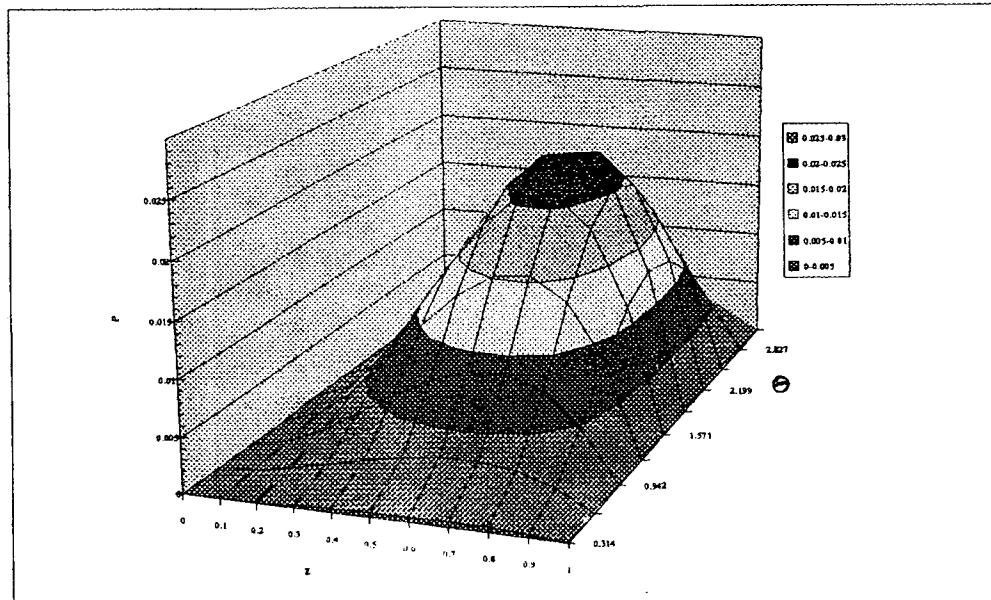
$$4. P = 0, z = 1$$

จะได้สมการความดันทั่วไป ภายใต้สภาวะคงตัว ดังนี้

$$P = \frac{1552.2}{h^7} \delta \left(\frac{L}{D} \right)^4 (\varepsilon \sin \theta)^3 \frac{z^4}{12} - \frac{M}{h^4} \delta \left(\frac{L}{D} \right)^2 (\varepsilon \sin \theta)^2 \frac{z^3}{6} + \left[\frac{N}{h} \delta \varepsilon \sin \theta - 24 \left(\frac{L}{D} \right)^2 \frac{\varepsilon \sin \theta}{(1+\varepsilon \cos \theta)^3} \right] \frac{z^2}{2} \quad \text{---(6)}$$

$$\begin{aligned} \text{เมื่อ } M &= \frac{776.1}{h^3} \left(\frac{L}{D} \right)^2 (\varepsilon \sin \theta) + \frac{72h^4}{\varepsilon \sin \theta} \left[\frac{1}{(1-\varepsilon)^3} - \frac{1}{(1+\varepsilon \cos \theta)^3} \right] \\ N &= \frac{24h}{\delta(1-\varepsilon)^3} \left(\frac{L}{D} \right)^2 \end{aligned}$$

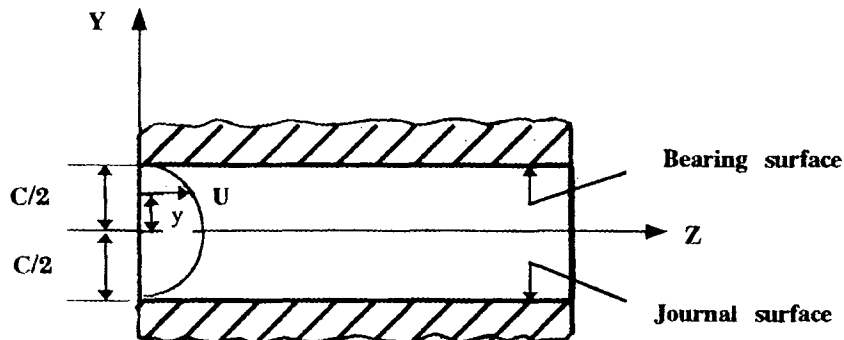
เมื่อกำหนดให้ค่า $L/D = 0.25$, $\delta = 0.2$, $\varepsilon = 0.2$ คำนวณค่า P จากสมการที่ (6) และ เก็บกราฟแสดงความสัมพันธ์ระหว่างค่า P , Z และ θ ดังแสดงในรูปที่ 2



รูปที่ 2 แสดงความสัมพันธ์ระหว่างความดัน ความยาว และมุม θ

2.3 อัตราการไหลของสารหล่อลื่น (Lubricant flow rate)

เนื่องจากกรณีของ Infinitely Short Journal bearing ได้กำหนดเปรียบเทียบอัตราการไหลของสารหล่อลื่นในแนวแกน X กับแนวแกน Z ผลปรากฏว่า อัตราการไหลในแนวแกน Z มากกว่าการไหลในแนวแกน X จึงพิจารณาตัวแปร ไร้นิติของสมการการกระจายความเร็วในแกน Z



รูปที่ 3 แสดงพิศทางการไหลของฟิล์มสารหล่อลื่นในแนวแกน Z

สมการการกระจายความเร็วของสารหล่อลื่นนอน-นิวโทนียันในแนวแกน Z คือ

$$U_z = \frac{1}{2} \frac{\partial P}{\partial z} y(y - h) + \delta \left(\frac{\partial P}{\partial z} \right)^3 \left(\frac{y^4}{4} - \frac{h}{2} y^3 + \frac{3}{8} h^2 y^2 - \frac{h^3}{8} y \right) \quad \dots \dots \dots (7)$$

ความเร็วเฉลี่ยของสารหล่อลื่น

$$U_{av} = \int_0^h U dy / h = - \left[\frac{h^2}{12} \frac{\partial P}{\partial z} - \frac{\delta h^4}{80} \left(\frac{\partial P}{\partial z} \right)^3 \right] \quad \dots \dots \dots (8)$$

หาอัตราการไหลโดยพิจารณาพิกัดทรงกระบอก (r, θ, z)

$$\text{เมื่อ } dQ = 2 U_{av} dA = 2 U_{av} (r h d\theta)$$

$$\therefore Q = 2 \int_0^{2\pi} U_{av} d\theta = 2 \int_0^{2\pi} U_{av} r h d\theta \quad \dots \dots \dots (9)$$

2.4 สมการการเปลี่ยนแปลงอุณหภูมิของสารหล่ออัลลินอน-นิวโทเนียน

จาก Energy balance equation โดยสมมติว่าจุดศูนย์กลางของเพลาและจุดศูนย์กลางของแบร์ริงทันกัน

$$\therefore \Delta T = \frac{f_w \cdot PDLR\omega}{\dot{m}c_p} \quad \text{-----(10)}$$

เมื่อ f_w = สป.ส. ความเสียดทาน

P = load

D = ขนาดวัดผ่านศูนย์กลางของเพลา

L = ความยาวของแบร์ริง

ω = ความเร็วเชิงมุม rad/s

R = รัศมีเพลา

\dot{m} = อัตราการไหลเชิงมวลของสารหล่ออัลลิน kg/s

C_p = ความจุความร้อนสารหล่ออัลลิน

3. วิธีการ Optimization

การหาค่าตัวแปรออกแบบ λ และ c ที่เหมาะสมที่สุดโดยวิธี Optimization แบบ Exhaustive Search ซึ่งมีขั้นตอนการคำนวณดังนี้

- กำหนดค่า Objective function ในที่นี่ คือ

$$\text{Minimize } F(c, \lambda) = \alpha_1 \Delta T(c, \lambda) + \alpha_2 Q(c, \lambda)$$

- กำหนดให้ $0.01 \leq c \leq 0.15$.

$$0.10 \leq \lambda \leq 0.25$$

- นำค่าตัวแปรออกแบบ (c, λ) ไปตรวจสอบความเสถียรจากสมการ stability^[3] คือ

3.1 กรณีค่า $\sigma \leq 0.28$

$$\Psi(\sigma) = \frac{3}{\sigma^{0.55}}$$

3.2 กรณีค่า $0.28 \leq \sigma \leq 2.9$

$$\psi(\sigma) = 6.88\sigma^{0.094}$$

3.3 กรณีค่า $\sigma > 2.9$

$$\psi(\sigma) = 7.65$$

เมื่อ $\sigma = \text{Modified Summerfeld Number} = \pi S(L/D)^2$

$S = \text{Summerfeld Number} = (R/C)^2 \mu N/P$

$\psi = \text{Dimensionless rotor mass} = cM\omega^2/W$

4. นำค่าตัวแปรออกแบบที่เพลาอยู่ในสภาวะเสถียรไปตรวจสอบดูว่าอยู่ภายใต้เงื่อนไขสมการบังคับหรือไม่ สมการบังคับในที่นี้ คือ

$$1) \lambda_{\min} \leq \lambda \leq \lambda_{\max}$$

$$2) \mu > \mu_{\min}$$

$$3) \Delta T \leq \Delta T_a$$

$$4) \omega \leq \omega_{cr}$$

$$5) c(1 - \varepsilon_0) \geq h_0$$

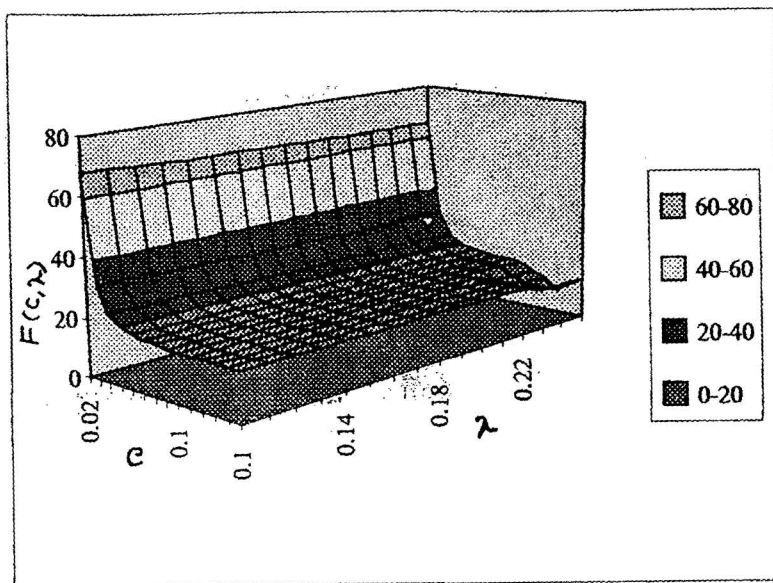
5. คำนวณค่า ΔT และ Q ที่อยู่ภายใต้เงื่อนไขสมการบังคับไปแทนในสมการ

Objective function

6. บันทึกค่า Objective function หลากหลาย ค่า และนำมาเปรียบเทียบกัน ที่ค่า Objective function ต่ำสุด จะได้ค่า c, λ ค่าหนึ่งซึ่งเป็นค่าที่เหมาะสมที่สุด

4. ผลจากวิธีการ Optimization

จากการทำ Optimization โดยการเขียนโปรแกรมคอมพิวเตอร์นำผลที่ได้จากการรันโปรแกรมมาเขียนเป็นกราฟ ได้ดังรูปที่ 4 จะเห็นว่าที่ค่า objective function = 16.56383 ซึ่งเป็นค่าที่น้อยที่สุดจะได้ค่า $C = 0.13$ และค่า $\lambda = 0.25$ ซึ่งเป็นค่าที่เหมาะสมที่สุด



รูปที่ 4 แสดงความสัมพันธ์ระหว่าง Objective Function กับค่า λ และ c

5. เอกสารอ้างอิง (Reference)

1. Hashimoto , H. and M. Mongkolwongrojn " DYNAMIC BEHAVIOUR OF SHORT ELLIPTICAL JOURNAL BEARINGS WITH NON-NEWTONIAN LUBRICANTS " การสัมนาวิศวกรรมเครื่องกล ครั้งที่ 5 . มหาวิทยาลัยเชียงใหม่ 2534.
2. P. Bourgin , J.M. Francois and B. Gay " NUMERICAL SOLUTION OF A NON-NEWTONIAN FILM FLOW "
3. EZZAT , H. "Optimum Design of Hydrodynamic Journal Bearings" M. Sc. Thesis, The University of Wisconsin 1967.
4. JASBIR S. ARORA " Introduction to Optimum Design " McGrawHill , Inc. 1989.